

I.1. Considérations de symétries:

1/8

Le plan passant par M et contenant l'axe est plan de symétrie.

\vec{E} lui est parallèle ($E_\theta = 0$) et \vec{B} lui est perpendiculaire ($B_x = B_y = 0$).

Le plan passant par M et perpendiculaire à l'axe est, en électrostatique (ce que l'énoncé ne précisait pas...), plan de symétrie: \vec{E} lui est parallèle ($E_z = 0$) et, en magnétostatique (id.) plan d'antisymétrie

\vec{B} lui est parallèle ($B_z = 0$): $\vec{E} = E(p, \theta, z) \vec{e}_p$; $\vec{B} = B(p, \theta, z) \vec{e}_\theta$

Il y a symétrie de révolution ($\frac{\partial E}{\partial \theta} = 0$ et $\frac{\partial B}{\partial \theta} = 0$) et, en régime permanent, invariance par translation le long de l'axe ($\frac{\partial E}{\partial z} = 0$ et $\frac{\partial B}{\partial z} = 0$)

I.1.1: $\vec{E} = E(p) \vec{e}_p$. On applique le théorème de Gauss à une surface

cylindrique de rayon p , de longueur l : $\oint \vec{E} \cdot \vec{n} d^2S = \frac{Q_{int}}{\epsilon_0 \epsilon_r}$

$$\oint E(p) \vec{e}_p \cdot \vec{e}_p d^2S + \iint_{\text{base } 1} E(p) \vec{e}_p \cdot \vec{e}_z d^2S + \iint_{\text{base } 2} E(p) \vec{e}_p \cdot (-\vec{e}_z) d^2S = \frac{Ql}{\epsilon_0 \epsilon_r}$$

$$E(p) \cdot 2\pi p l = \frac{Ql}{\epsilon_0 \epsilon_r} \quad E = \frac{Q}{2\pi \epsilon_0 \epsilon_r} \cdot \frac{1}{p} \vec{e}_p \quad (\text{pour } p \in [p_1, p_2])$$

$$\text{I.1.2: } V_1 - V_2 = - \int_{p_1}^{p_2} E(p) \cdot \vec{e}_p \cdot dp \vec{e}_p = \int_{p_1}^{p_2} \frac{Q}{2\pi \epsilon_0 \epsilon_r} \cdot \frac{dp}{p} = \frac{Q}{2\pi \epsilon_0 \epsilon_r} \ln \frac{p_2}{p_1}$$

$$\boxed{\text{I.1.3: } P = \frac{Q}{V_1 - V_2} = \frac{2\pi \epsilon_0 \epsilon_r}{\ln \frac{p_2}{p_1}}}$$

$$\text{I.1.4: } P = 1,0 \cdot 10^{-10} \text{ F m}^{-1} ; E \text{ maximum pour } p = p_1 : E_{\max} = 16 \cdot 10^3 \text{ V}$$

$$V_1 - V_2 = 10 \text{ V}$$

I.1.5: $\vec{B} = B(p) \vec{e}_\theta$. On applique le théorème d'Amperé sur un cercle

d'axe Oz , de rayon p : $\oint \vec{B} d\vec{l} = \mu_0 I$ (cas de la magnétostatique)

$$\oint B(p) \vec{e}_\theta \cdot p d\theta \vec{e}_\theta = 2\pi p B(p) = \mu_0 I \quad \vec{B} = \frac{\mu_0 I}{2\pi p} \vec{e}_\theta$$

$$\text{I.1.6: } \begin{array}{c} \text{O} \vec{n} \\ \text{---} \end{array} \begin{array}{c} \uparrow p_2 \\ \uparrow p_1 \\ \text{---} \end{array} \begin{array}{c} \text{axe} \\ \text{---} \end{array} \quad \phi = \iint_{\frac{1}{2} \text{ plan}} \vec{B} \cdot \vec{n} d^2S \quad \begin{array}{l} \text{On choisit } \vec{n} = +\vec{e}_\theta \\ \vec{B} = \vec{0} \text{ pour } p < p_1 \text{ et } p > p_2 \\ \text{(dit l'énoncé...)} \end{array}$$

$$\phi = \iint_{\text{rect}} B(p) \vec{e}_\theta \cdot \vec{e}_\theta dz dp = \int_{p_1}^{p_2} \int_{-l}^{l} \frac{\mu_0 I}{2\pi p} dp dz = \frac{\mu_0 I l}{2\pi} \ln \frac{p_2}{p_1} \text{ puis } l = 1 \text{ m}$$

$$\text{I.1.7: On définit } \Lambda \text{ par } \Lambda = \frac{\phi}{I} \quad \boxed{\Lambda = \frac{\mu_0}{2\pi} \ln \frac{p_2}{p_1}}$$

$$\text{I.1.8: } \Lambda = 2,5 \cdot 10^{-7} \text{ F m}^{-1} ; B \text{ maximum pour } p = p_1 \quad B_{\max} = 4,0 \cdot 10^{-5} \text{ T}$$

I.1.9: Si I est répartie en volume dans le conducteur central, \vec{B} est nul pour $p \in]p_1, p_2[$, mais non nul pour $p < p_1$; ϕ (donc Λ) est modifié!

I.2.1 L'équation de Maxwell-Toraday ($\nabla \cdot \vec{E} = -\frac{\partial \vec{B}}{\partial t}$) s'écrit. 2/8

$$\nabla \cdot [\vec{E}_0 e^{j(\omega t - k_z z)}] = -\frac{\partial}{\partial t} [\vec{B}_0 e^{j(\omega t - k_z z)}]$$

D'après le théorème, $\nabla \cdot [\vec{E}_0 e^{j(\omega t - k_z z)}] = e^{j(\omega t - k_z z)} \nabla \cdot \vec{E}_0 + \text{grad } e^{j(\omega t - k_z z)} \cdot \vec{E}_0$

Or $\nabla \cdot \vec{E}_0 = 0$ car $E_0 = 0$ et $\vec{E}_0(x, y)$; $\text{grad } e^{j(\omega t - k_z z)} = -jk_z \vec{e}_z e^{j(\omega t - k_z z)}$

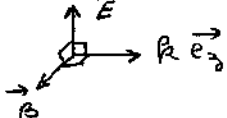
Enfin $-\frac{\partial}{\partial t} [\vec{B}_0 e^{j(\omega t - k_z z)}] = -j\omega \vec{B}_0 e^{j(\omega t - k_z z)}$

Après simplification par $j(\omega t - k_z z)$: $k_z \vec{e}_z \wedge \vec{E}_0 = \omega \vec{B}_0$

Un calcul analogue à partir de l'équation de Maxwell-Ampère

$$(\nabla \cdot \vec{B} = \mu_0 \epsilon \frac{\partial \vec{E}}{\partial t}) \text{ conduit à: } k_z \vec{e}_z \wedge \vec{B}_0 = -\mu_0 \epsilon \omega \vec{E}_0$$

On trouve localement la structure d'une onde plane progressive: \vec{E} et \vec{B} transverses, perpendiculaires entre eux, formant avec $k_z \vec{e}_z$ un trièdre direct:



$$\text{I.2.2: } k_z \vec{e}_z \wedge \vec{E}_0 = k_z \vec{e}_z \wedge \left[-\frac{k_z \vec{e}_z \wedge \vec{B}_0}{\omega \epsilon \mu_0} \right] = \frac{k_z^2}{\omega \epsilon \mu_0} \left[-\vec{e}_z (\vec{e}_z \cdot \vec{B}_0) + \vec{B}_0 (\vec{e}_z)^2 \right] = \omega \vec{B}_0$$

d'où $k_z^2 = \omega^2 \epsilon \mu_0 = \omega^2 \epsilon_n \epsilon_0 \mu_0 = \frac{\omega^2}{c^2} \epsilon_n \quad k_z = \frac{\omega}{c} \sqrt{\epsilon_n}$ (choix $k_z > 0$)

La vitesse de phase est $v_\phi = \frac{\omega}{k_z} = \frac{c}{\sqrt{\epsilon_n}}$

De $k_z \vec{e}_z \wedge \vec{E}_0 = \omega \vec{B}_0$ (avec $\vec{E}_0 \perp \vec{e}_z$), on tire $\|\vec{B}_0\| = \frac{k_z}{\omega} \|\vec{E}_0\| = \frac{\sqrt{\epsilon_n}}{c} \|\vec{E}_0\|$

I.2.3: Les conditions aux limites sont les relations de continuité de $\vec{E}_{\text{tangential}}$ et \vec{B}_{normal} sur les surfaces $p=p_1$ et $p=p_2$.

Pour $p=p_1$: dans le conducteur \vec{E} et \vec{B} sont nuls (dit l'enoncé...); entre les conducteurs $\vec{E}_{\text{tang}} = E_\theta \vec{e}_\theta + E_z \vec{e}_z = \vec{0}$ (car $\vec{E} \parallel \vec{e}_\theta$) et $\vec{B} = B_p \vec{e}_p = \vec{0}$ (car $\vec{B} \parallel \vec{e}_\theta$).

Idem pour $p=p_2$

I.2.4: Sur la surface du conducteur interne, la relation de discontinuité s'écrit $\vec{n}_2 \cdot \vec{B}_1 + \vec{n}_1 \cdot \vec{B}_2 = \mu_0 \vec{f}_\Sigma$ conducteur isolant
(2) // (1) $\rightarrow \vec{n}_2 \cdot \vec{e}_p$

$$\overset{\leftarrow}{\vec{e}_p} \quad \overset{\leftarrow}{B(p)} \overset{\leftarrow}{\vec{e}_\theta} \quad \vec{B} \text{ nul dans le conducteur}$$

Il apparaît donc un courant surfacique: $\vec{f}_\Sigma = \frac{1}{\mu_0} B(p_1) \vec{e}_p \wedge \vec{e}_\theta = \frac{B(p_1)}{\mu_0} \vec{e}_z$
L'intensité est alors (à travers un cercle de rayon p_1):

$$I = 2\pi p_1 \vec{f}_\Sigma \cdot \vec{e}_z \quad I = \frac{2\pi p_1}{\mu_0} B_0(p_1) e^{j(\omega t - k_z z)} \text{ donc } I_0 = \frac{2\pi p_1}{\mu_0} B_0(p_1)$$

En régime dépendant du temps, le théorème d'Amperé s'écrit: $\oint \vec{B} \cdot d\vec{l} = \mu_0 (i + \epsilon_0 E_z \iint_{(S)} \frac{\partial \vec{E}}{\partial t} \cdot \vec{n} d^2s)$

$$\oint_P \vec{B} \cdot d\vec{l} = \mu_0 (i + \epsilon_0 E_z \iint_{(S)} \frac{\partial \vec{E}}{\partial t} \cdot \vec{n} d^2s) \quad (S) \text{ surface s'appuyant sur } P$$

$$\text{On l'applique à un cercle de rayon } p: \oint_P \vec{B} \cdot d\vec{l} = \oint_B B(p, z) \vec{e}_\theta \cdot p d\theta \vec{e}_\theta \\ = B(p, z) 2\pi p$$

La surface (S) s'appuyant sur le contour est le disque: $\vec{n} = \vec{e}_z$ et $\frac{\partial \vec{E}}{\partial t} \cdot \vec{n} = 0$ car \vec{E} est partagé par \vec{e}_p .

$$\text{d'où } B(p, z) \cdot 2\pi p = \mu_0 I(z, t) \quad \begin{cases} B(p, z, t) = \frac{\mu_0}{2\pi p} I(z, t) \\ B_0(p) = \frac{\mu_0 I_0}{2\pi p} \end{cases}$$

I.2.5: La même relation de discontinuité pour \vec{B} sur la surface $P = P_2$, mais avec $\vec{n}_{P_2} = -\vec{e}_p$, conduit à $\vec{j}_\Sigma = -\frac{B(P_2)}{\mu_0} \vec{e}_z$, donc à une intensité $I_2 = +2\pi p_2 \left(-\frac{B(P_2)}{\mu_0}\right) = -2\pi p_2 \times \frac{\mu_0 I}{\mu_0} = -I(z, t)$ (courant opposé à $I(z, t)$ au même instant, à la même côté).

I.3.1. Le déplacement élémentaire sur une couche plane d'un plan z fixe est $d\vec{l} = dp \vec{e}_p + pd\theta \vec{e}_\theta$. Donc $U(z, t) = - \int_1^2 E_0(p) e^{i(wt - k_p z)} \underbrace{\vec{e}_p (dp \vec{e}_p + pd\theta \vec{e}_\theta)}_{=0}$

$$U(z, t) = e^{i(wt - k_p z)} \int_1^2 E_0(p) dp; U(z, t) \text{ ne dépend donc pas de la couche choisie pour aller de } p_1 \text{ à } p_2. U_0 = \int_1^2 E_0(p) dp. \text{ Or } E_0(p) = \frac{C}{\sqrt{\epsilon_0}} B_0(p) = \frac{C \mu_0 I_0}{\sqrt{\epsilon_0} 2\pi p}$$

$$\text{Donc } U_0 = \frac{C \mu_0 I_0}{\sqrt{\epsilon_0} 2\pi} \int_1^2 \frac{dp}{p} = \frac{C \mu_0 I_0}{\sqrt{\epsilon_0} 2\pi} \ln \frac{p_2}{p_1} \quad \begin{matrix} \vec{E}_0 = E_0 \vec{e}_p \\ B_0 = B_0 \vec{e}_\theta \end{matrix}$$

Not $\vec{E} = -\frac{\partial \vec{B}}{\partial t}$ implique $\vec{E} = -\nabla V - \frac{\partial \vec{A}}{\partial t}$ où $(-\frac{\partial \vec{A}}{\partial t})$ est le champ électromagnétique de Neumann et \vec{A} le potentiel vecteur dont dérive \vec{B} ($\vec{B} = \nabla \times \vec{A}$).

Donc \vec{E} n'est pas le gradient d'un potentiel scalaire V .

$$\text{I.3.2: } Z_c = \frac{U(z, t)}{I(z, t)} = \frac{U_0 e^{i(wt - k_p z)}}{I_0 e^{i(wt - k_p z)}} = \frac{U_0}{I_0} = \frac{C \mu_0}{\sqrt{\epsilon_0} 2\pi} \ln \frac{p_2}{p_1}$$

Z_c ne dépend ni du temps t , ni de la position z le long du câble.

$$\text{I.3.3: D'après I.1.3 et I.1.7: } \sqrt{\frac{L}{\Gamma}} = \sqrt{\frac{\mu_0}{(2\pi)^2 \epsilon_0 \epsilon_0} \left(\ln \frac{p_2}{p_1}\right)^2} = \frac{1}{\sqrt{\epsilon_0} 2\pi} \ln \frac{p_2}{p_1} \times \sqrt{\frac{\mu_0}{\epsilon_0}}$$

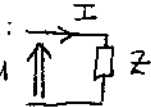
$$\text{Or } C \mu_0 = \frac{\mu_0}{\sqrt{\epsilon_0 \mu_0}} = \sqrt{\frac{\mu_0}{\epsilon_0}}. \text{ Donc } Z_c = \sqrt{\frac{L}{\Gamma}}$$

I.3.4: Pour une onde se propageant en sens inverse, on remplace $k_p \vec{e}_z$ par $(-k_p \vec{e}_z)$ avec $k_p > 0$: E_0 et B_0 sont de signes opposés: $E_0(p) = -\frac{C \mu_0 I_0}{\sqrt{\epsilon_0} 2\pi p}$

$$\begin{matrix} -k_p \vec{e}_z \\ \swarrow \end{matrix} \quad \begin{matrix} B_0 \vec{e}_\theta \\ \searrow \end{matrix} \quad \text{Pour les mêmes calculs, on obtient} \\ (Z_c > 0) \quad \frac{U(z, t)}{I(z, t)} = -Z_c$$

$$I.3.5: Z_c = \sqrt{\frac{L}{\Gamma}} = 50 \Omega ; v_\varphi = \frac{c}{\sqrt{\epsilon_r}} = 2 \cdot 10^8 \text{ m s}^{-1}$$

4
8

I.4.1:  Il faut $U(0,t) = Z I(0,t)$. Or pour une onde unique se propageant vers $z \uparrow$, on a trouvé $U(z,t) = Z_c I(z,t)$ pour tout z . Si $Z \neq Z_c$, il résulte donc pas y avoir une seule onde progressive; il y a réflexion du signal en bout de ligne (en $z=0$) et existence d'une onde progressive vers $z \downarrow$: $U(z,t) = U_{inc}(z,t) + U_{refl}(z,t) = A e^{j(\omega t - k_z z)} + B e^{j(\omega t + k_z z)}$

Pour les ondes de courant: $\begin{cases} I_{inc}(z,t) = \frac{U_{inc}(z,t)}{Z_c} = \frac{A}{Z_c} e^{j(\omega t - k_z z)} \\ I_{refl}(z,t) = -\frac{U_{refl}(z,t)}{Z_c} = -\frac{B}{Z_c} e^{j(\omega t + k_z z)} \end{cases}$

$$I(z,t) = \frac{1}{Z_c} \left[A e^{j(\omega t - k_z z)} - B e^{j(\omega t + k_z z)} \right]$$

La condition en $z=0$ s'écrit $(A+B) e^{j\omega t} = \frac{Z}{Z_c} (A-B) e^{j\omega t} ; \frac{Z}{Z_c} = \frac{A+B}{A-B}$

I.4.2: En posant $\alpha = \frac{B}{A}$, il vient $\frac{Z}{Z_c} = \frac{1+\alpha}{1-\alpha}$ donc $\alpha = \frac{Z/Z_c - 1}{Z/Z_c + 1} = \frac{Z - Z_c}{Z + Z_c}$

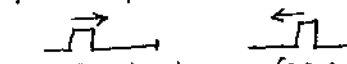
On retrouve $\alpha = 0$ (absence d'onde réfléchie) pour $Z = Z_c$.

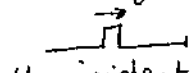
Pour un circuit ouvert: $\alpha = 1 \quad U = A e^{j\omega t} [e^{-jk_z z} + e^{jk_z z}] = 2A \cos k_z z e^{j\omega t}$

Le câble est le siège d'ondes stationnaires (nœuds, vortices, etc...)

Pour un circuit en court-circuit, $\alpha = -1$; $U = -2iA \sin k_z z e^{j\omega t}$ (id...)

I.4.3: Les résultats se généralisent à tout signal TEM (même non monochromatique) si la propagation se fait sans déformation du signal, ainsi que la réflexion, donc si ϵ_r (pour la propagation) et Z (pour la réflexion) ne dépendent pas de ω . En particulier, en ce qui concerne le câble, il faut que ϵ_r ne dépendent pas de ω : il n'y a pas dispersion.

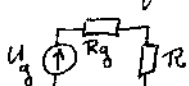
I.4.4: extrémité ouverte  $\alpha = 1$ pour U
 $U_{incident}$ $U_{reflected}$ ($\alpha = -1$ pour I)

extrémité en court-circuit  $\alpha = -1$ pour U
 $U_{incident}$ $U_{reflected}$ ($\alpha = +1$ pour I)

I.4.5: Il n'y a pas réflexion

$$\text{si } \alpha = 0, Z_c = Z = R. \text{ Il faut } R = \sqrt{\frac{L}{\Gamma}} = 50 \Omega$$

I.4.6: Si le câble transmet correctement le signal (sans signal réfléchi en bout de ligne), il est fermé sur Z_c . À l'entrée, il présente aussi l'impédance Z_c ($= R = 50 \Omega$). Pour qu'il y ait adaptation d'impédance, il faut que le générateur ait lui aussi une impédance $R = 50 \Omega$.

 puissance reçue par R : $P = \frac{R}{(R+R_g)^2} U^2 ; \frac{dP}{dR} = \frac{U^2}{(R+R_g)^3} [R_g - R]$

P est donc maximale si $R = R_g$ et il y a "adaptation d'impédance"

$$\text{II.1.1: } \frac{dQ_n}{dt} = I_n - I_{n+1} \quad \frac{dQ_n}{dt} = I_n - I_{n+1} \quad (i) \quad \frac{dI_n}{dt} = V_{n-1} - V_n \quad V_{n-1} - V_n = -\left(-L \frac{dI_n}{dt}\right) \quad (ii)$$

$$\text{II.1.2: } Q_n = C V_n ; \text{ par dérivation de (i)} \quad C \frac{d^2 V_n}{dt^2} = \frac{dI_n}{dt} - \frac{dI_{n+1}}{dt}$$

$$\text{Avec (ii): } C \frac{d^2 V_n}{dt^2} = \frac{1}{L} (V_{n-1} - V_n) - \frac{1}{L} (V_n - V_{n+1})$$

$$\text{D'où } \frac{d^2 V_n}{dt^2} = \frac{1}{LC} (V_{n+1} + V_{n-1} - 2V_n) \text{ avec } \boxed{\omega_0^2 = \frac{1}{LC}}$$

$$\text{II.2: Soit } E_n = \frac{1}{2} C V_n^2 + \frac{1}{2} L I_n^2 \text{ l'énergie emmagasinée dans la cellule } n.$$

$$\frac{dE_n}{dt} = C V_n \frac{dV_n}{dt} + L I_n \frac{dI_n}{dt} = V_n \frac{dQ_n}{dt} + I_n \left(L \frac{dI_n}{dt} \right) = V_n (I_n - I_{n+1}) + I_n (V_{n-1} - V_n) \quad \text{avec (i) et (ii)}$$

$$\frac{dE_n}{dt} = I_n V_{n-1} - V_n I_{n+1}.$$

$I_n V_{n-1}$ est la puissance qui passe (de gauche à droite) au noeud $(n-1)$; elle entre dans la cellule : P_e

$I_{n+1} V_n$ passe au noeud n ; elle sort de la cellule : P_s

$\frac{dE_n}{dt} = P_e - P_s$: l'augmentation de l'énergie emmagasinée dans la cellule d' E_n (pendant dt) est égale à l'énergie qui entre P_e dt moins celle qui sort $P_s dt$: il y a conservation de l'énergie (normal: pas de résistance donc pas de perte)

$$\text{II.3.1: } A_n = A_0 e^{-jnd}$$

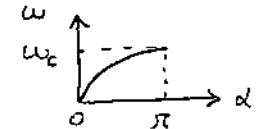
$$\text{II.3.2: On reporte dans l'équation de propagation avec } \begin{cases} \underline{V}_{n+1} = \underline{V}_n e^{-j\alpha} \\ \underline{V}_{n-1} = \underline{V}_n e^{+j\alpha} \end{cases}$$

$$- \omega^2 \underline{V}_n = \omega_0^2 (\underline{V}_n e^{-j\alpha} + \underline{V}_n e^{+j\alpha} - 2\underline{V}_n) \text{ d'où } \omega^2 = \omega_0^2 (2 - e^{j\alpha} - e^{-j\alpha})$$

$$\omega^2 = \omega_0^2 \cdot 2 (1 - \cos \alpha) = \omega_0^2 \cdot 4 \sin^2 \frac{\alpha}{2} \quad \boxed{\omega = 2\omega_0 |\sin \frac{\alpha}{2}|} \quad (\omega > 0)$$

$$\text{II.3.3: } \omega \in [0, 2\omega_0] \quad \omega_c = 2\omega_0$$

On peut se limiter à $\alpha > 0$ (propagation vers la droite); $|\sin \frac{\alpha}{2}|$ est 2π -périodique; on peut donc se limiter à $\alpha \in [0, \pi]$



II.3.4: On obtient à t, pour la cellule n , la phase

$(\omega t - nd)$ qui était pour la cellule 0 à $(t - \tau_n)$

avec $\tau_n = \frac{nd}{\omega}$: $\omega t - nd = \omega(t - \tau_n)$. Pendant τ_n , il y a eu propagation de la phase de la cellule 0 à la cellule n .

$$v_\phi = \frac{n}{\tau_n} = \frac{\omega}{\alpha}$$

$$\text{II.3.5: Pour } \omega \ll \omega_0, \text{ donc } \omega \ll \omega_c, \text{ on a } \alpha \ll \pi \text{ et } \left| \sin \frac{\alpha}{2} \right| \approx \frac{\alpha}{2} \quad (\alpha > 0)$$

$$\omega \approx \omega_0 \cdot \frac{\alpha}{2} = \omega_0 \alpha \quad \text{et} \quad v_\phi = \omega_0 \cdot \frac{\alpha}{2} : \text{ il n'y a pas dispersion}$$

(donc pas déformation d'un signal très basse fréquence au cours de la propagation)

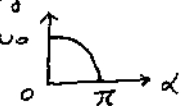
"L'effet d'une cellule" (le passage de la cellule $(n-1)$ à la cellule (n)) produit un retard $\tau = \frac{d}{\omega} = \frac{1}{\omega_0}$

$$\text{II. 3. 6: } \omega_0 = \frac{1}{\sqrt{LC}} = 2 \cdot 10^6 \text{ rad s}^{-1}; \quad \tau = \frac{1}{\omega_0} = 5 \cdot 10^{-7} \text{ s}; \quad m = \frac{t}{\tau} = 200$$

$$P = v_g \cdot t \text{ avec } v_g \text{ de I. 3. 5: } P = 2 \cdot 10^8 \cdot 10^4 = 2 \cdot 10^4 \text{ m} = 20 \text{ km}$$

II. 4. 1: $v_g = \frac{dw}{dk}$ vitesse de propagation du paquet d'ondes donc de l'information qu'il porte; ici $v_g = \frac{dw}{d\alpha} = \omega_0 \cos \frac{\alpha}{2}$

Pour $\alpha \ll \pi$: cas non dispersif $v_g = v_p = \omega_0$



Pour $\alpha = \pi$: $v_g = 0$. Il n'y a pas propagation (de l'énergie, de l'information...) le long du câble (existence d'ondes stationnaires etc...)

$$\text{II. 4. 2: D'après (ii)} \quad j\omega L B_n e^{j\omega t} = (A_{n-1} - A_n) e^{j\omega t} = (e^{j\alpha} A_n - A_n) e^{j\omega t}$$

$$B_n = \frac{A_n}{j\omega L} (e^{j\alpha} - 1) = \frac{A_n}{j\omega L} \cdot e^{j\alpha/2} (e^{j\alpha/2} - e^{-j\alpha/2}) = \frac{2 e^{j\alpha/2}}{\omega L} (\sin \frac{\alpha}{2}) A_n = \frac{1}{L \omega_0} e^{j\alpha/2} A_n$$

Il faut utiliser la notation réelle: $A_n = |A_n| e^{j\varphi_n}$

$$\left. \begin{aligned} V_n(t) &= \operatorname{Re}(A_n e^{j\omega t}) = |A_n| \cos(\omega t + \varphi_n) \\ I_n(t) &= \operatorname{Re}(B_n e^{j\omega t}) = \frac{1}{L \omega_0} |A_n| \cos(\omega t + \varphi_n + \frac{\alpha}{2}) \end{aligned} \right\} \quad \begin{aligned} \langle \frac{1}{2} C V_n^2 \rangle &= \frac{1}{2} \times \frac{1}{2} C |A_n|^2 \\ \langle \frac{1}{2} L I_n^2 \rangle &= \frac{1}{2} \times \frac{1}{2} \frac{L}{L^2 \omega_0^2} |A_n|^2 \end{aligned}$$

$$\text{Gr } \frac{L}{L^2 \omega_0^2} = \frac{1}{L} \times L C = C.$$

D'où $\langle \frac{1}{2} C V_n^2 \rangle = \langle \frac{1}{2} L I_n^2 \rangle$: en moyenne, autant d'énergie stockée sous forme électrique (dans C) que sous forme magnétique (dans L).

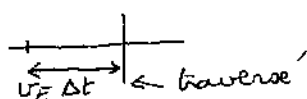
$$E = \frac{1}{2} C |A_n|^2$$

$$\begin{aligned} P &= \langle V_{n-1}(t) I_n(t) \rangle = \langle |A_n| \cos(\omega t + \varphi_n + \alpha) \cdot \frac{1}{L \omega_0} |A_n| \cos(\omega t + \varphi_n + \frac{\alpha}{2}) \rangle \\ &= \frac{|A_n|^2}{L \omega_0} \left[\underbrace{\langle \cos^2(\omega t + \varphi_n + \frac{\alpha}{2}) \cos \frac{\alpha}{2} \rangle}_{\Rightarrow \frac{1}{2}} - \underbrace{\langle \cos(\omega t + \varphi_n + \frac{\alpha}{2}) \cdot \sin(\omega t + \varphi_n + \frac{\alpha}{2}) \sin \frac{\alpha}{2} \rangle}_{\Rightarrow 0} \right] \end{aligned}$$

$$P = \frac{|A_n|^2}{2 L \omega_0} \cos \frac{\alpha}{2} = \frac{1}{2} C |A_n|^2 \times \frac{1}{L C \omega_0} \cdot \cos \frac{\alpha}{2} ; \text{ or } \frac{1}{L C \omega_0} = \omega_0 \text{ et } \omega_0 \cos \frac{\alpha}{2} = v_g$$

$$\text{D'où } P = E \cdot v_g \quad v_g = \frac{P}{E}$$

On retrouve le fait (classique) que la vitesse de groupe est la vitesse à laquelle avance l'énergie en moyenne. Pour cela, faisons un bilan pendant $\Delta t \gg T = \frac{2\pi}{\omega}$ (pour raisonner sur les moyennes). En un point de la ligne, l'énergie qui "passe" entre t et t + Δt (donc PΔt) est l'énergie qui, à t, était stockée sur la longueur $v_E \Delta t$ (si l'énergie avance avec v_E)



$$E \cdot v_E \Delta t = P \Delta t \text{ donc } v_E = \frac{P}{E}. \text{ On trouve ici } v_E = v_g$$

$$\text{II.4.3: } v_\varphi = \frac{\omega}{d} = \frac{2\omega_0}{d} \sin \frac{\alpha}{2}; \quad v_\varphi(d) \text{ donc } v_\varphi(\omega).$$

7/8

Un signal non monochromatique est la superposition de signaux monochromatiques de pulsations différentes (notion de G.F.) qui se propagent à des vitesses différentes ($v_\varphi(\omega)$). Il va donc se déformer au cours de la propagation (il y a dispersion) avec étalement du paquet d'onde.

$$\text{II.5.1: } Z_c = \frac{V_n}{I_{n+1}} = \frac{A_n}{B_{n+1}} = \frac{A_n}{\frac{1}{L\omega_0} e^{j\frac{\alpha}{2}} A_n e^{-j\frac{\alpha}{2}}} = L\omega_0 e^{j\frac{\alpha}{2}} = L\omega_0 \left(\cos \frac{\alpha}{2} + j \sin \frac{\alpha}{2} \right)$$

$$\text{II.5.2: } Z_c = R_c + jX_c; \text{ d'où } X_c = jL\omega_0 \sin \frac{\alpha}{2} = j \frac{L\omega}{2} = jL'w \text{ avec } L' = L/2 = 12,5 \mu H$$

$$\text{II.5.3: } R_c = L\omega_0 \cos \frac{\alpha}{2} = \sqrt{\frac{L}{C}} \cos \frac{\alpha}{2} = \sqrt{\frac{L}{C}} \sqrt{1 - \left(\frac{\omega}{2\omega_0}\right)^2} = \sqrt{\frac{L}{C}} \sqrt{1 - \left(\frac{\omega}{\omega_c}\right)^2}$$

$$\text{Pour } \omega \ll \omega_0: R_c \approx \sqrt{\frac{L}{C}} = 50 \Omega$$

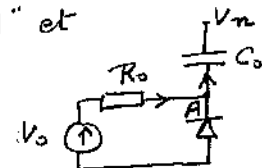
$$\text{Pour } \omega \rightarrow \omega_c, R_c \rightarrow 0$$

II.5.4: Pour qu'il n'y ait pas de signal réfléchi, il faut donc fermer la ligne sur $Z_c = R_c + j\omega L'$, donc sur une résistance en série avec une inductance.

III.1.1. La diode est une "varicap".

- On souhaite que la diode en série avec C_0 ($\frac{1}{C_{eq}} = \frac{1}{C_0} + \frac{1}{C_D}$) soit équivalente à la diode seule; il faut $\frac{1}{C_D} \gg \frac{1}{C_0}$, donc $C_0 \gg C_D$ (C_D vaut de 1 à 150 pF)
- On souhaite que $V_D (= V_o - R_o I_{R_o})$ soit $(V_o + V_n)$. Il n'y a pratiquement pas de courant dans la diode (montée en inverse): I_{R_o} traverse C_0 , donc n'a pas de composante continue: "V_o continue se retrouve en A" et $I_{R_o} \cdot R_o = -V_n$ est alternatif.

"A travers C_0 ", on veut que "V_n se retrouve en A"; il faut que la chute de tension alternative aux bornes de C_0 soit négligeable; elle vaut $\Delta V_{C_0} = \frac{1}{j\omega C_0} I_{R_o} = -\frac{1}{j\omega R_o C_0} V_n$. Il faut donc $R_o C_0 \omega \gg 1$ (on choisit R_o et C_0 grands).



III.1.2: C_L et C_D étant montées en parallèle, $C_{eq} = C_L + C_D = \frac{1}{a+bV}$ et ceci constitue la "capacité variable" soumise à V: $\frac{dQ}{dV} = C_{eq}$; $dQ = \frac{dV}{a+bV}$; $Q = \frac{1}{b} \ln(V + \frac{a}{b}) + K$

$$Q(V_o + V_n) = \frac{1}{b} \ln(V_o + V_n + \frac{a}{b}) + K = \frac{1}{b} \ln \left[(V_o + \frac{a}{b})(1 + \frac{V_n}{V_o + \frac{a}{b}}) \right] + K = \frac{1}{b} \ln \left(1 + \frac{V_n}{V_o + \frac{a}{b}} \right) + \text{cste}$$

$$\text{On obtient } Q_0 = 1/b \text{ et } F_0 = V_o + a/b$$

III.2.1: On repart II.1: (ii) est inchangé; (i) s'écrit avec $\frac{dQ_n}{dt} = Q_0 \frac{d}{dt} \left[\ln \left(1 + \frac{V_n}{F_0} \right) \right]$

$$\frac{d^2 Q_n}{dt^2} = Q_0 \frac{d^2}{dt^2} \left[\ln \left(1 + \frac{V_n}{F_0} \right) \right] = \frac{d I_n}{dt} - \frac{d I_{int}}{dt} = \frac{1}{L} (V_{n+1} - V_{n-1} - 2V_n)$$

avec (ii)

III.2.2: gros calcul!

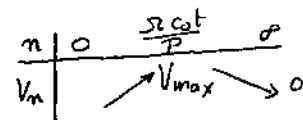
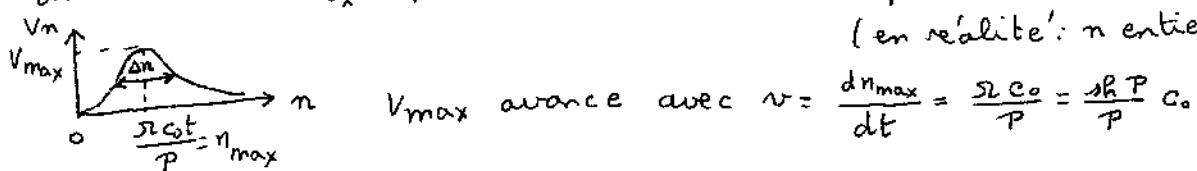
$$\begin{aligned}
 V_{n+1} + V_{n-1} &= \frac{F_0}{c_0^2} \frac{d^2}{dt^2} \left[\ln [\operatorname{ch}(\sigma c_0 t - (n+1)P) + \ln [\operatorname{ch}(\sigma c_0 t - (n-1)P)] \right] \\
 &= \frac{F_0}{c_0^2} \frac{d^2}{dt^2} \left[\ln [\operatorname{ch}(\sigma c_0 t - (n+1)P) \cdot \operatorname{ch}(\sigma c_0 t - (n-1)P)] \right] \\
 &\uparrow \quad \text{préambule} \\
 &= \frac{F_0}{c_0^2} \frac{d^2}{dt^2} \left[\ln [\operatorname{ch}^2(\sigma c_0 t - nP) + \operatorname{sh}^2 P] \right]
 \end{aligned}$$

$$\begin{aligned}
 V_{n+1} + V_{n-1} - 2V_n &= \frac{F_0}{c_0^2} \frac{d^2}{dt^2} \left[\ln [\operatorname{ch}^2(\sigma c_0 t - nP) + \operatorname{sh}^2 P] - \ln [\operatorname{ch}^2(\sigma c_0 t - nP)] \right] \\
 &= \frac{F_0}{c_0^2} \frac{d^2}{dt^2} \left[\ln \left[1 + \frac{\operatorname{sh}^2 P}{\operatorname{ch}^2(\sigma c_0 t - nP)} \right] \right] \\
 &= \frac{F_0}{c_0^2} \frac{d^2}{dt^2} \left[\ln \left[1 + \frac{\operatorname{sh}^2 P}{F_0 \sigma^2} V_n \right] \right]; \text{ or } \operatorname{sh}^2 P = \sigma^2 \\
 2^\text{e membre} &= Q_0 L \frac{d^2}{dt^2} \left[\ln \left[1 + \frac{V_n}{F_0} \right] \right] \quad (1^\text{e membre}) \text{ si } Q_0 L = \frac{F_0}{c_0^2}
 \end{aligned}$$

La solution proposée convient...

$$\text{III.2.3: } \frac{dV_n}{dn} = -2 \frac{F_0 \sigma^2}{\operatorname{ch}^3(\sigma c_0 t - Pn)} \times (-P) \operatorname{sh}(\sigma c_0 t - Pn)$$

$$\frac{dV}{dn} = 0 \text{ pour } n = \frac{\sigma c_0 t}{\max} \text{ et } V_{\max} = F_0 \sigma^2$$



(en réalité: n entier; discret)

$$V_{\max} \text{ avance avec } v = \frac{dn_{\max}}{dt} = \frac{\sigma c_0}{P} = \frac{\operatorname{sh} P}{P} c_0$$

On peut chercher la largeur à mi-hauteur: $\frac{V_n}{V_{\max}} = \frac{1}{2}$; correspond à $\operatorname{ch}[\sigma c_0 t - Pn] = \sqrt{2}$, $\sigma c_0 t - Pn = \pm 0,88$.

Or $\sigma c_0 t - Pn_{\max} = 0$; donc $P(n - n_{\max}) = \pm 0,88$; $\Delta n = \frac{2 \times 0,88}{P} = \frac{1,76}{P}$
 $v = \left(\frac{\operatorname{sh} P}{P} \right) c_0 > c_0 = v_{\text{critique}}$; prem: v indépendante de (P, c_0) : il n'y a pas dispersion; i.e. propagation sans déformation: soliton

$$\begin{aligned}
 \text{III.2.4: } c_0 &= \sqrt{\frac{F_0}{L Q_0}} = 2,42 \cdot 10^6 \text{ cellule s}^{-1}; \quad \frac{\operatorname{sh} P}{P} = \frac{v}{c_0} = 1,03 \\
 &= 2,42 \text{ cellule } \mu\text{s}^{-1}
 \end{aligned}$$

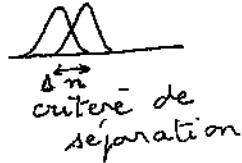
P est donc faible; on utilise $\frac{\operatorname{sh} P}{P} \approx 1 + \frac{P^2}{6}$; $P = \sqrt{6 \times 0,03} = 0,45$; $\Delta n = 4$

$$V_{\max} = F_0 \sigma^2 = F_0 \operatorname{sh}^2 P = 0,9 \text{ V}$$

On a un soliton de hauteur 0,9 V, de largeur 4 cellules qui avance à la vitesse de 2,5 cellule μs^{-1} et met pour "traverser une cellule"

$$\text{le temps } \frac{1}{v} = 0,4 \mu\text{s}$$

Compte-tenu de sa largeur, il "reste" $4 \times 0,4 \mu\text{s} = 1,6 \mu\text{s}$ dure



$$\text{Le débit est donc } \frac{1}{1,6 \cdot 10^{-6}} = 6,25 \cdot 10^5 \text{ bits s}^{-1} = 625 \text{ kbits s}^{-1}$$